

مقایسه دو روش نهان‌نگاری تصاویر دیجیتال

فاطمه آدیم، سجاد توسلی



۱- دانشجوی کارشناسی ارشد نرم‌افزار دانشگاه آزاد اسلامی واحد ساری

۲- عضو هیئت علمی دانشگاه آزاد اسلامی واحد ساری (نویسنده مسئول)

fe_adim@yahoo.com

نام ارائه دهنده: فاطمه آدیم

خلاصه

در سال‌های اخیر با توسعه کامپیوتر و تکنولوژی اینترنت، داده‌های چندرسانه‌ای به شکل بسیار وسیعی در جوامع بشری استفاده می‌شوند. از طرفی دیگر، قابلیت کمی برداری راحت و بدون افت کیفیت از این محصولات باعث شده است تا همواره طراحی سیستمی که بتواند از این محصولات و حقوق صاحبان آنها محافظت کند یکی از نیازهای جدی این عرصه باشد. امروزه نهان‌نگاری داده در محصولات دیجیتال به عنوان یک راه حل برای پیاده‌سازی و حمایت از قانون حق چاپ در حوزه دیجیتال مطرح شده است. در این مقاله دو روش نهان‌نگاری تصاویر دیجیتال را معرفی نموده و عملکرد هر یک از آنها را ارزیابی می‌نماییم. روش اول مبتنی بر تکنیک SVM و روش دوم مبتنی بر تکنیک LS-SVM در حوزه موجک چندگانه می‌باشد.

کلمات کلیدی: تصاویر دیجیتال، نهان‌نگاری

۱- مقدمه

گسترش سریع شبکه‌های دیجیتال در دهه گذشته، انتقال، توزیع و دسترسی به محصولات دیجیتال را بسیار آسان کرده است. پیامد این گسترش، تکثیر و استفاده غیرمجاز از این محصولات می‌باشد که پدیده فوق زیان زیادی را متوجه شرکت‌های تولید کننده این قبیل محصولات می‌کند. در این میان، از تصاویر می‌توان به عنوان یکی از ارزشمندترین محصولات دیجیتال نام برد که نقش گستره قوانین حق انتشار در سالیان اخیر، خسارت‌های مالی فراوانی را به صنایع مرتبط در سراسر جهان وارد کرده است. تکنیک‌های رمزنگاری، دیگر به تهایی قادر به جلوگیری از استفاده غیرمجاز از محصولات دیجیتال نیستند، چرا که دیر یا زود محصول رمزنگاری شده باید به منظور استفاده کاربر رمزگشایی گردد؛ حال آنکه این کاربر مجاز می‌تواند دست به نسخه‌برداری و تکثیر غیرقانونی محصول مورد نظر بزند.

در اواخر قرن بیستم، نهان‌نگاری دیجیتال به عنوان مکمل روش‌های سنتی، برای صیانت از حقوق صاحبین آثار دیجیتال مورد توجه قرار گرفت که در بی آن تحقیقات گستره‌ای در این زمینه به انجام رسید. هر چند در این میان کارهای بسیار ارزشمندی توسط محققین و با حمایت مالی تولید کنندگان

محصولات دیجیتال به انجام رسیده است، با این حال هنوز مسائل حل نشده فراوانی بر سر استفاده مؤثر از نهان‌نگاری دیجیتال وجود دارد که این امر، زمینه‌ساز رواج هر چه بیشتر تحقیقات به منظور ابداع و توسعه سیستم‌های نهان‌نگاری گردیده است. در این میان، علاوه بر صیانت از حقوق مالکین کاربردهای متعدد و ارزشمند دیگری نیز برای نهان‌نگاری دیجیتال ارائه گردیده است.

به طور کلی، نهان‌نگاری دیجیتال^۱ پنهان کردن یک سیگنال که نهان‌نگاره نامیده می‌شود، در داده‌های مانند صوت، تصویر و ویدئوی دیجیتال است که به منظور اهداف و کاربردهای متعددی صورت می‌گیرد. استفاده از نهان‌نگاری دیجیتال در سال‌های اخیر به سرعت گسترش یافته است تا جایی که به نظر می‌رسد در آینده نزدیک، اکثر محصولات دیجیتال مجهز به اطلاعات پنهانی شوند که می‌تواند شامل اطلاعاتی جهت حفظ حقوق تولیدکننده‌گان، ردیابی مشتریان مختلف، احراز اصالت، پیگیری هوشمندانه پخش محصولات و ... باشد [۱].

در سال‌های اخیر تلاش‌های زیادی به منظور بهره‌گیری از محسن‌تکنیک‌های یادگیری ماشین در نهان‌نگاری تصاویر انجام شده است. Sun و Tsai [۲] یک روش جدید نهان‌نگاری به نام نهان‌نگاری تصویر رنگی مبتنی بر SVM ارائه کردند که استخراج نهان‌نگاره به عنوان یک مسئله طبقه‌بندی دودویی در نظر گرفته می‌شود... Tsai و همکارانش [۳] یک طرح نهان‌نگاری تصویر مبتنی بر تجزیه مقدار منفرد در حوزه موجک با استفاده از رگرسیون بردار پشتیبان و بهینه‌سازی از دحام ذرات ارائه کردند. ایده روش ارائه شده، استفاده از تبدیل موجک گستته و SVD به منظور افزایش توانمندی روش‌های مبتنی بر SVD موجود است. Tseng و همکارانش [۴] یک روش نهان‌نگاری بدون اتلاف مقاوم براساس الگوریتم میانه هرس آلفا و SVM ارائه کردند. در این روش، SVM به منظور حفظ رابطه بین نهان‌نگاره و نهان‌نگاره وابسته به تصویر آموزش می‌بیند. زمانی که نیاز به تصدیق مالکیت تصویر است، آموزش دیده برای بازیابی نهان‌نگاره به کار می‌رود و سپس به منظور تعیین مالکیت، نهان‌نگاره بازیابی شده با نهان‌نگاره اصلی مقایسه می‌شود. Wang و همکارانش [۵] براساس تبدیل فوریه چهارگانه و LS-SVM یک الگوریتم نهان‌نگاری کور تصویر رنگی با کیفیت بصری خوب، ارائه کردند. در این مقاله قصد داریم ابتدا دو روش در نهان‌نگاری تصاویر دیجیتال را معرفی نموده، سپس عملکرد آنها را با هم مقایسه نماییم و سرانجام به بیان مزایا و معایب این دو روش نسبت به یکدیگر پردازیم.

این مقاله به صورت زیر سازمان دهی شده است:

در بخش ۲ یک روش نهان‌نگاری تصاویر دیجیتال مبتنی بر تکنیک SVM را معرفی می‌کنیم و سپس در بخش ۳ به ارائه یک روش نهان‌نگاری تصاویر دیجیتال مبتنی بر تکنیک ماشین بردار پشتیبان حداقل مربعات^۶ در حوزه موجک چندگانه^۷ خواهیم پرداخت. نتایج شیوه‌سازی و ارزیابی نتایج در بخش ۴ ارائه می‌شود و سرانجام در بخش ۵ به نتیجه‌گیری می‌پردازیم.

۲- نهان‌نگاری تصاویر دیجیتال مبتنی بر تکنیک SVM

ابتدا به معرفی SVM که از ابزار اصلی به کار رفته در این روش می‌باشد، می‌پردازیم.

الگوریتم SVM اولیه توسط Vladimir Vapnik ابداع شد و در سال ۱۹۹۵ توسط Corinna Cortes و Vapnik^[۶] برای حالت غیرخطی تعمیم داده شد. روش SVM که یک روش یادگیری ماشین با سرپرست محسوب می‌شود و از آن برای دسته‌بندی و پیش‌بینی استفاده می‌شود، نتایج بسیار خوبی را در تحقیقات یادگیری ماشین از خود نشان داده است. این روش در مقایسه با روش‌هایی مانند شبکه‌های عصبی یا الگوریتم ژنتیک از یک مبنای ریاضی قوی برخوردار است و کاربردهای متعدد کیفیت مناسب این روش را نشان داده است. در SVM، داده‌های آموزشی در فضای اولیه یا در یک فضای ثانویه با تعداد ابعاد بالاتر به وسیله یک ابرصفحه از همدیگر جدا می‌گردند. برای رسیدن به بیشترین قدرت تعمیم، از میان ابرصفحه‌های جداکننده ممکن، ابرصفحه‌ای انتخاب می‌شود که بیشترین فاصله را از نمونه‌های دو کلاس داشته باشد. در این حالت، نمونه‌هایی که دارای کمترین فاصله با ابرصفحه هستند را بردار پشتیبان می‌نامند. با توجه به اینکه در SVM دنبال یافتن ابرصفحه‌ای هستیم که دارای بیشترین فاصله حاشیه‌ای و کمترین مقدار خطای باشد، انتخاب این ابرصفحه باعث می‌شود که طبقه‌بندی کننده قابلیت تعمیم بهتری داشته باشد. یافتن چنین ابرصفحه‌ای به لحاظ ریاضی منجر به حل یک مسئله بهینه‌سازی می‌شود. این مسئله بهینه‌سازی به کمک روش‌های ریاضی مرسوم قابل حل است.

Wang و همکارانش [۷] یک روش نهان‌نگاری تصویر با استفاده از SVM به منظور مقاومت در برابر حملات رایج پردازش تصویر نظری افزودن نویز، فشرده‌سازی JPEG و غیره و حملات ناهمگامی نظری دوران، انتقال، تغییر مقیاس، حذف سطر یا ستون و غیره ارائه دادند. در این روش، به منظور حفظ حق انتشار یک تصویر دیجیتال، یک نهان‌نگاره که توسط یک تصویر باینری نمایش داده می‌شود در تصویر دیجیتال تعبیه می‌شود.

۱-۲ تعبیه نهان‌نگاره

براساس تئوری تصویر دیجیتال همبستگی زیادی بین مقدار هر پیکسل و جمع یا واریانس پیکسل‌های مجاورش وجود دارد [۸]. به علاوه، پس از اینکه تصویر مورد حمله واقع شد، همبستگی به میزان اندکی تغییر یافته و پایدار می‌ماند. براساس همبستگی محلی تصویر یک طرح مقاوم جدید نهان‌نگاری تصویر پیشنهاد شده است که به منظور بهبود عملکرد روش‌های نهان‌نگاری سنتی از تکنیک‌های طبقه‌بندی مبتنی بر SVM استفاده می‌نماید. در این روش ابتدا مجموعه‌ای از الگوهای آموزشی با استفاده از دو ویژگی از تصویر، شامل جمع و واریانس تعدادی از پیکسل‌های مجاور ساخته می‌شوند. این مجموعه از الگوهای آموزشی در حوزه مکان از یک جفت تصویر، تصویر اولیه و تصویر نهان‌نگاری شده متأثر با آن گردآوری می‌شوند. سپس، یک ابرصفحه شبیه بهینه یک طبقه‌بندی کننده دودویی) T یک SVM به دست می‌آید و SVM می‌تواند با استفاده از مجموعه الگوهای آموزشی آموزش بیند. سرانجام، SVM آموزش دیده به منظور طبقه‌بندی مجموعه‌ای از الگوهای تست به کار گرفته می‌رود. پس از نتایج تولید شده توسط طبقه‌بندی کننده (SVM) آموزش دیده، نهان‌نگاره می‌تواند تعبیه و بازیابی شود.

فرض کنید $I = \{g(i, j), 1 \leq i \leq M, 1 \leq j \leq N\}$ تصویر دیجیتال میزان را نشان می‌دهد و $g(i, j)$ مقدار پیکسل را در موقعیت (i, j) مشخص می‌نماید.

$W = \{w(i, j), 1 \leq i \leq P, 1 \leq j \leq Q\}$ یک تصویر باینری است که باید در تصویر میزان تعبیه شود و $w(i, j) \in \{0, 1\}$ مقدار پیکسل در (i, j) است. گام‌های اصلی رویه تعبیه نهان‌نگاره به صورت زیر توصیف می‌شود:

گام (۱) ساخت بردار ویژگی*

ابتدا K پیکسل (i_k, j_k) ($k=1, 2, \dots, K$) به صورت تصادفی از تصویر اصلی انتخاب می‌شوند. سپس زیربلوک‌های تصویر با سایز $n_1 \times n_2$ برای پیکسل‌های (i_k, j_k) که در مختصات مرکزی می‌باشند، انتخاب می‌شوند. D_k جمع پیکسل و S_k واریانس پیکسل زیربلوک‌های تصویر به صورت زیر محاسبه می‌شوند:

$$D_k = \sum_{m=-n_1-\frac{1}{2}}^{n_1-\frac{1}{2}} \sum_{n=-n_2-\frac{1}{2}}^{n_2-\frac{1}{2}} g(i_k + m, j_k + n) - g(i_k, j_k) \quad (1)$$

$$S_k = \sum_{m=-n_1-\frac{1}{2}}^{n_1-\frac{1}{2}} \sum_{n=-n_2-\frac{1}{2}}^{n_2-\frac{1}{2}} [g(i_k + m, j_k + n) - \bar{g}]^2 - [g(i_k, j_k) - \bar{g}]^2 \quad (2)$$

گام (۲) آموزش SVM

فرض کنید D_k و S_k ($k=1, 2, \dots, K$) بردارهای ویژگی برای آموزش و $O_k = \{g(i_k, j_k)\}$ ($k=1, 2, \dots, K$) هدف آموزش باشد. پس ما می‌توانیم نمونه‌های آموزشی را به صورت زیر به دست آوریم:

$$\Omega_k = \{(D_k, S_k, O_k)\} (k = 1, 2, \dots, K) \quad (3)$$

مدل SVM می‌تواند با آموزش به دست آید.

گام (۴) تعبیه نهان‌نگاره

ابتدا زیربلوک‌های تصویر با سایز $n_1 \times n_2$ از پیکسل‌های (i, j) ($i=1, 2, \dots, M$, $j=1, 2, \dots, N$) که در مختصات مرکزی هستند، انتخاب می‌شوند و D_k جمع پیکسل و S_k واریانس پیکسل زیربلوک‌های تصویر به صورت زیر محاسبه می‌شوند.

$$D_k = (i = 1, 2, \dots, M; j = 1, 2, \dots, N; k = M(j-1)+i) \quad (4)$$

$$S_k = (i = 1, 2, \dots, M; j = 1, 2, \dots, N; k = M(j-1) + i) \quad (5)$$

فرض کنید ($i = 1, 2, \dots, M$. $j = 1, 2, \dots, N$. $k = M(j-1) + i$)
بردارهای ویژگی برای آموزش باشند. بنابراین می‌توانیم بردار ورودی را به دست آوریم:

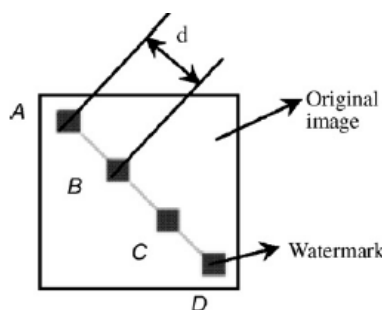
$$\eta_k = \{(D_k, S_k)\} \quad (6)$$

$$(i = 1, 2, \dots, M; j = 1, 2, \dots, N; k = M(j-1) + i)$$

همچنین بردار خروجی واقعی می‌تواند با استفاده از مدل SVM به خوبی آموزش یافته به دست آید.

$$\delta_k (i = 1, 2, \dots, M; j = 1, 2, \dots, N; k = M(j-1) + i) \quad (7)$$

سرانجام، همانطوری که در شکل ۱ نشان داده شده است، نهان‌نگاره دیجیتال مکررا در امتداد جهت قطری با استفاده از استراتژی تعییه اضافی در تصویر اصلی تعییه می‌شود که مکان‌های مرکز تصویر چهار نهان‌نگاره به ترتیب $(5M/8, 5N/8)$, $(3M/8, 3N/8)$, $(M/8, N/8)$ و $(7M/8, 7N/8)$ می‌باشد.



شکل ۱: موقعیت تعییه نهان‌نگاره

فاصله‌ی مرکز بین تصویر دو نهان‌نگاره مجاور به صورت زیر می‌باشد:

$$d = \frac{\sqrt{M^2 + N^2}}{4} \quad (8)$$

قانون تعییه نهان‌نگاره به صورت زیر می‌باشد (به عنوان مثال تصویر نهان‌نگاره A را در نظر بگیرید):

$$g' \left(\frac{M}{8} - \frac{P}{2} - 1 + i, \frac{N}{8} - \frac{Q}{2} - 1 + j \right) \\ = \begin{cases} \max \left(g \left(\frac{M}{8} - \frac{P}{2} - 1 + i, \frac{N}{8} - \frac{Q}{2} - 1 + j \right), \delta_k - \alpha \right) \\ \quad \text{if } w_1(i, j) = 1 \\ \min \left(g \left(\frac{M}{8} - \frac{P}{2} - 1 + i, \frac{N}{8} - \frac{Q}{2} - 1 + j \right), \delta_k + \alpha \right) \\ \quad \text{if } w_1(i, j) = 0 \end{cases} \quad (9)$$

$$k = \left(\frac{N}{8} - \frac{Q}{2} - 1 + j \right) M + \frac{M}{8} - \frac{P}{2} - 1 + i,$$

$$1 \leq i \leq P, 1 \leq j \leq Q$$

که ($g' = (M/8-P/2-1+i, N/8-Q/2-1+j)$ و $g = (M/8-P/2-1+i, N/8-Q/2-1+j)$) به ترتیب مقدار پیکسل تغییر نیافته و مقدار پیکسل تغییر یافته می‌باشند، ($\alpha = D.g(M/8-P/2-1+i, N/8-Q/2-1+j)$) عمق تعییه نهان‌نگاره و D یک ثابت است.

۲-۲ آشکارسازی نهان‌نگاره

رویه آشکارسازی نهان‌نگاره در این روش برای استخراج نهان‌نگاره نیازی به تصویر میزبان ندارد و به صورت زیر بیان می‌شود:

(۱) بردارهای ویژگی براساس ویژگی‌های محلی تصویر ساخته می‌شوند.

(۲) مدل SVM می‌تواند با آموزش به دست آید.

(۳) تصویر هدف^۵ با استفاده از SVM به خوبی آموزش یافته استخراج می‌گردد.

(۴) بلوک اصلی تصویر می‌تواند با جستجوی یک به یک بلوک هدف تصویر به دست آید.

(۵) بلوک اصلی تصویر اصلاح می‌شود.

(۶) نهان‌نگاره دیجیتال از بلوک اصلی اصلاح شده تصویر استخراج می‌شود.

۳- نهان‌نگاری تصاویر دیجیتال مبتنی بر تکنیک LS-SVM در حوزه موجک چندگانه

ابتدا به معروفی تبدیل موجک چندگانه و ماشین بردار پشتیبان حداقل مربعات که دو ابزار اصلی به کار رفته در این روش می‌باشند، می‌پردازیم.

موجک چندگانه بسیار شبیه موجک است اما چند تفاوت مهم با آن دارد [۹، ۱۰]. به طور خاص موجک چندگانه دو یا بیشتر تابع مقیاس و موجک دارد، در حالی که موجک تنها یک تابع مقیاس $(t)\phi$ و یک تابع موجک $(t)\psi$ را دارد.

برای حل SVM استاندارد از روش‌های برنامه‌ریزی درجه دو استفاده می‌شود. زمانی که بخواهیم مسئله‌ای در ابعاد بزرگ را محاسبه نماییم، این روش‌ها اغلب زمان بر و برای پیاده‌سازی مشکل‌اند، بنابراین با محاسبات پرهزینه‌ای مواجه خواهیم شد. ماشین بردار پشتیبان حداقل مربعات قادر به حل مسائل طبقه‌بندی و رگرسیون می‌باشد و به دلیل برخی از ویژگی‌های آن که مرتبط با پیاده‌سازی و روش‌های محاسباتی اند، بسیار مورد توجه قرار گرفته است. به عنوان مثال، آموزش به جای حل مسئله برنامه‌ریزی درجه دو که در SVM اصلی مورد بحث قرار گرفت، نیاز به حل مجموعه‌ای از معادلات خطی دارد. در همین خصوصی، در سال ۱۹۹۹ روش حداقل مربعات توسط Vandewalle و Suykens در میان ماشین‌های بردار پشتیبان طراحی شد [۱۱].

در این بخش قصد داریم یک روش جدید در نهان‌نگاری تصاویر دیجیتال معرفی نماییم که براساس ماشین بردار پشتیبان حداقل مربعات در دامنه موجک چندگانه طراحی شده است. در این روش، ساختار و ویژگی خاص تصویر در دامنه موجک چندگانه به منظور طراحی یک الگوریتم جدید نهان‌نگاری به کار گرفته می‌شود. براین اساس، بیت‌های نهان‌نگاره در زیرباندهای تقریب موجک چندگانه‌ی بلوک‌های تصویر تعییه می‌شوند و یک روش مدولاسیون مقدار میانگین به منظور مدولاسیون ضرایب موجک چندگانه آنها به کار گرفته می‌شود. در طی استخراج نهان‌نگاره، SVM برای یادگیری رابطه مقدار میانگین بین این زیرباندهای تقریب به کار می‌رود و سپس استخراج نهان‌نگاره انجام می‌شود. به علت قدرت یادگیری بالای LS-SVM و تعمیم خوب آن، نهان‌نگاره می‌تواند تحت حملات مختلف دقیقاً بازیابی شود. بنابراین، ویژگی‌های اصلی این روش:

- در این روش، ساختار خاص تصویر در دامنه موجک چندگانه و مشخصه متمن کردن انرژی در زیرباندهای تقریب به منظور طراحی یک الگوریتم جدید تعییه نهان‌نگاره به کار می‌رود. این مشخصه متمن کردن انرژی می‌تواند اعوجاج‌های تصویری بیشتری را تحمل کند.

- از تئوری آماری می‌دانیم که مقدار میانگین نمونه‌ها واریانس کمتری از یک نمونه‌ی تنها دارد، بنابراین، هنگامی که ما یک نهان‌نگاره را در مجموعه‌ای از ضرایب موجک چندگانه تعییه می‌نماییم، تکنیک مدولاسیون مقدار میانگین می‌تواند تا حد زیادی اثر اعوجاج شدید تصویر را روی یک نهان‌نگاره تک‌بیتی کاهش دهد.

- از آنجایی که قابلیت یادگیری و عملکرد تعمیم LS-SVM برتر از شبکه‌های عصبی سنتی نظری MLP است، می‌تواند به طور کارایی مقاومت الگوریتم نهان‌نگاری را تحت حملات مختلف بهبود بخشد.

- این روش برای استخراج نهان‌نگاره به تصویر اولیه نیاز ندارد.

۳-۱ تعبیه نهان‌نگاره

در این روش، استراتژی بلوک‌بندی به منظور تقسیم تصویر میزبان به کار می‌رود و اطلاعات نهان‌نگاره در زیرباندهای پایین-پایین گذار این بلوک‌های تصویر پنهان خواهد شد. بعد از یک تجزیه موجک چندگانه یک سطحی، چهار زیرباند پایین-پایین گذار L_1, L_2, L_3, L_4 یک بلوک از تصویر، تقریبی از آن را نشان می‌دهند و بیشترین انرژی اش را متمرکز می‌نمایند. دو زیرباند از بین زیرباندهای پایین-پایین گذار هر بلوک از تصویر به عنوان محل‌های تعبیه انتخاب می‌شوند و به منظور تعبیه نهان‌نگاره، یک تکنیک مدولاسیون مقدار میانگین برای رابطه مقدار میانگین ضرایب آنها به کار می‌رود. به منظور افزایش امنیت، انتخاب زیرباندها تصادفی است و توسط کلید محرمانه k کنترل می‌شود. در طی تعبیه نهان‌نگاره، تنها یک بیت از نهان‌نگاره در هر بلوک از تصویر تعبیه می‌شود. رویکرد مدولاسیون مقدار میانگین، هر بیت نهان‌نگاره را به مجموعه‌ای از ضرایب دو زیرباند پایین-پایین گذار منتخب تعديل می‌نماید.

در این روش، نهان‌نگاره W از دو مؤلفه تشکیل شده است، اطلاعات مرجع H به طول n و امضای مالکیت S که تصویر یک لوگوی باینری با سایز $m_1 \times m_2$ است. اطلاعات مرجع H در طی استخراج نهان‌نگاره برای آموزش LS-SVM به کار می‌رود. بنابراین، نهان‌نگاره‌ای که باید تعبیه شود می‌تواند به شکل $W = HS = w_1, \dots, w_n, w_{n+1}, \dots, w_{n+m} = h_1, h_2, \dots, h_n, s_1, s_2, \dots, s_{m_1 \times m_2}$ می‌باشد.

فرض کنید I تصویر اصلی با سایز $N \times M$ است. فرآیند تعبیه نهان‌نگاره به صورت زیر توصیف می‌شود:

گام (۱) تبدیل موجک چندگانه. ما تصویر اولیه I را به بلوک‌های بدون هم‌پوشانی با سایز 16×16 تقسیم می‌کنیم. فرض کنید I_k امین بلوک تصویر را مشخص می‌کند. برای هر بلوک I_k تجزیه موجک چندگانه یک سطحی را اجرا می‌کنیم و چهار زیرباند پایین-پایین گذار آن را به دست می‌آوریم.

گام (۲) انتخاب مکان‌های تعبیه. ما به طور تصادفی دو زیرباند از چهار زیرباند هر بلوک از تصویر را انتخاب می‌کنیم. برای k امین بلوک تصویر، دو زیرباند منتخب تصادفی با L_1^k و L_2^k مشخص می‌شوند. مجموعه ضرایب C_1^k و C_2^k از L_1^k و L_2^k به شکل زیر بیان می‌شوند:

$$C_j^k = \{c_j^k(i) \mid i = 1, 2, \dots, 64\}, j = 1, 2 \quad (10)$$

گام (۳) محاسبه مقادیر میانگین. برای هر زیرباند L_j^k از k امین بلوک تصویر، مقدار میانگین AVG_j^k مجموعه ضرایب به صورت زیر محاسبه می‌شود:

$$AVG_j^k = \frac{1}{64} \sum_{i=1}^{64} |c_j^k(i)|, j = 1, 2 \quad k = 1, 2, \dots, m \quad (11)$$

که (i) امین ضریب در C_j^k می‌باشد.

گام (۴) تعبیه نهان‌نگاره. یک تکنیک مدولاسیون مقدار میانگین که رابطه مقدار میانگین را بین دو زیرباند تعديل می‌کند، در اجرای تعبیه نهان‌نگاره به کار می‌رود. تکنیک مدولاسیون مقدار میانگین برای بلوک تصویر I_k به شکل زیر اجرا شود:

(۱) اگر $w_k = 1$ باشد، پس ما مقدار قدرمطلق هر ضریب را در مجموعه ضریب C_1^k کاهش می‌دهیم در حالی که مقدار قدرمطلق هر ضریب را در مجموعه ضریب C_2^k افزایش می‌دهیم. به طوری که $AVG_1^k < AVG_2^k$.

(۲) اگر $w_k = 0$ باشد، پس ما مقدار قدرمطلق هر ضریب را در مجموعه ضریب C_1^k افزایش می‌دهیم در حالی که مقدار قدرمطلق هر ضریب را در مجموعه ضریب C_2^k کاهش می‌دهیم. به طوری که $AVG_1^k \geq AVG_2^k$.

گام (۵) سرانجام، هر یک از بلوک‌های تصویر با استفاده از عکس تبدیل موجک چندگانه بازسازی می‌شوند و سپس همه بلوک‌های تصویر در تصویر نهان‌نگاری شده‌ی نهایی I' ترکیب می‌شوند.

۳-۲ استخراج نهان‌نگاره

در این روش، استخراج نهان‌نگاره به عنوان یک مسئله طبقه‌بندی درنظر گرفته می‌شود و LS-SVM برای استخراج نهان‌نگاره به کار می‌رود. دلایل استفاده از LS-SVM به شرح زیر می‌باشد:

(۱) از رویه تعییه نهان‌نگاره ذکر شده فوق الذکر مشاهده می‌کنیم که بیت نهان‌نگاره تعییه شده (۰ یا ۱) متناظر است با یک رابطه مقدار میانگین خاص (۱۱) $AVG_1^k \geq AVG_2^k$ یا $AVG_1^k < AVG_2^k$ بین دو زیرباند تقریب منتخب تصادفی. بنابراین طبق رابطه (۱۱) یک رابطه غیرخطی بین بیت w_k نهان‌نگاره و تمامی ضرایب C_1^k و C_2^k وجود دارد، به این معنا که $w_k = f(c_1^k(1), c_1^k(2), \dots, c_1^k(64), c_2^k(1), c_2^k(2), \dots, c_2^k(64))$. از آنجایی که LS-SVM توانایی نگاشت غیرخطی قدرتمندی دارد، می‌تواند به منظور یادگیری رابطه غیرخطی استفاده شود.

(۲) بدیهی است که تصویر نهان‌نگاری شده ممکن است توسط اپراتورهای مختلف پردازش سیگنال و یا حملات مختلفی نظیر فشرده‌سازی JPEG پراللاف، افزودن نویز، فیلتر کردن و غیره تخریب شود. از دید حوزه تبدیل، این حملات منجر به تغییر ضرایب موجک چندگانه یک تصویر خواهد شد. بنابراین نیاز است که آشکارساز نهان‌نگاره توانایی مقاومت بالایی در برابر نویزها داشته باشد. به همین دلیل LS-SVM را به عنوان آشکارساز نهان‌نگاره انتخاب می‌کنیم و بهبود مقاومت الگوریتم نهان‌نگاری از توانایی تعمیم خوب LS-SVM بهره خواهد بردا.

از رویه تعییه ذکر شده می‌دانیم که دو کلاس از اطلاعات نهان‌نگاره، اطلاعات مرجع و امضای مالکیت در تصویر نهان‌نگاری شده تعییه می‌شوند. ابتدا ما ضرایب موجک چندگانه‌ی آنها را در زیرباندهای پایین-پایین گذراز بلوک‌های تصویری که در آنها اطلاعات مرجع تعییه شده استخراج می‌نماییم و ضرایب برای آموزش LS-SVM به منظور یادگیری رابطه مقدار میانگین پنهان شده در آنها به کار می‌روند. سرانجام آموزش یافته اطلاعات نهان‌نگاره را از بلوک‌های تصویری که در آنها امضای مالکیت تعییه شده استخراج می‌نماید. به طور مشابه، همان کلید محربانه K انتخاب زیرباندهای پایین-پایین گذرا کنترل می‌کند و دو زیرباند منتخب تصادفی با L_1^k و L_2^k مشخص می‌شوند. استخراج نهان‌نگاره به صورت زیر توصیف می‌شود:

گام (۱) تبدیل موجک چندگانه. تصویر ورودی I به بلوک‌های بدون هم پوشانی با سایز 16×16 تقسیم می‌شود و سپس این بلوک‌ها همانند فرآیند تعییه در حوزه موجک چندگانه تجزیه می‌شوند.

گام (۲) آموزش LS-SVM

ما مجموعه آموزش D را از بلوک‌های تصویری که در آنها اطلاعات مرجع تعییه شده‌اند، می‌سازیم:

$$\begin{aligned} D &= \left\{ (x_k, y_k) \in R^{16} \mid k = 1, 2, \dots, n \right\} \\ &= \left\{ ((c_1^k(1), c_1^k(2), \dots, c_1^k(64), c_2^k(1), c_2^k(2), \dots, c_2^k(64)), h_k) \mid k = 1, 2, \dots, n \right\} \end{aligned} \quad (12)$$

که (i) و $c_1^k(i)$ امین ضرایب زیرباندهای L_1^k و $c_2^k(i)$ امین بلوک تصویر می‌باشند. ($i=1, 2, \dots, 64$) و h_k خروجی خواسته شده می‌باشد. ($k=1, 2, \dots, n$)

کرنل RBF ماشین بردار پشتیبان حداقل مربعات انتخاب می‌شود که به صورت زیر است:

$$K(x, x_k) = \exp(-\|x - x_k\|^2 / \sigma^2) \quad (13)$$

در اینجا پارامتر σ عرض کرنل RBF است.

مدل بهینه به صورت زیر می‌باشد:

$$\begin{cases} \text{Minimize} & \frac{1}{2} \sum_{i=1}^n \sum_{j=1}^n \alpha_i \alpha_j y_i y_j K(x_i, x_j) - \sum_{i=1}^n \alpha_i \\ \text{Subject to} & \sum_{i=1}^n \alpha_i y_i \quad 0 \leq \alpha_i \leq C, \quad i = 1, \dots, n \end{cases} \quad (14)$$

که a_i (۱ = $i = 1, \dots, n$) پارامترهای آموزش می‌باشند و C پارامتر جریمه است. فرض کنید راه حل بهینه $(\alpha_1, \dots, \alpha_n) = a$ باشد، بنابراین تابع تصمیم‌گیری می‌تواند به صورت زیر بیان شود:

$$y = f(x) = \operatorname{sign} \left(\sum_{i=1}^n \alpha_i y_i K(x, x_i) + b \right) \quad (15)$$

گام ۳) استخراج نهان‌نگاره. ما می‌توانیم از بلوک‌های تصویری که در آنها امضای مالکیت تعبیه شده است، مجموعه ورودی $D' = \{\hat{x}_k = (\hat{c}_1^k(1), \hat{c}_1^k(2), \dots, \hat{c}_1^k(64), \hat{c}_2^k(1), \hat{c}_2^k(2), \dots, \hat{c}_2^k(64)) | k = 1, \dots, m\}$ را باسازیم. بنابراین با استفاده از آموزش LS-SVM یافته از رابطه فوق، می‌توانیم خروجی‌های متناظر با آنها، $\{\hat{y}_k | k = 1, \dots, m\}$ را محاسبه نماییم. به این معنا که،

$$\begin{cases} \hat{y}_k = f(\hat{x}_k) & k = 1, 2, \dots, m \\ \hat{x}_k = (\hat{c}_1^k(1), \hat{c}_1^k(2), \dots, \hat{c}_1^k(64), \hat{c}_2^k(1), \hat{c}_2^k(2), \dots, \hat{c}_2^k(64)) \in D' \end{cases} \quad (16)$$

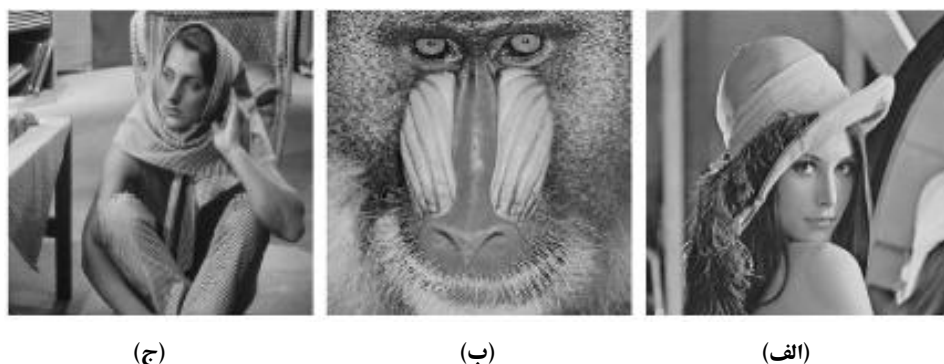
بنابراین، امضای مالکیت تعبیه شده با استفاده از رابطه زیر به دست می‌آید.

$$s_k = \begin{cases} 1 & \text{if } \hat{y}_k = 1 \\ 0 & \text{if } \hat{y}_k = -1 \end{cases} \quad k = 1, 2, \dots, m_1 \times m_2 \quad (17)$$

گام ۴) سرانجام، دنباله یک بعدی $s_1, s_2, \dots, s_{m_1 \times m_2}$ امضای مالکیت به تصویر لوگوی دو بعدی نهان‌نگاره W' تبدیل می‌شود.

۴- نتایج تجربی

برای پیاده‌سازی این دو روش از نرم‌افزار MATLAB 2014 استفاده شده است. ما این دو روش نهان‌نگاری را بر روی تعدادی از تصاویر تست استاندارد با سایز 512×512 پیکسل که در شکل ۲ نشان داده شده‌اند، اجرا نمودیم. همچنین نهان‌نگاره یک تصویر باینری است که در شکل ۳ نشان داده شده است.



شکل ۲: (الف) تصویر Lena، (ب) تصویر Mandrill، (ج) تصویر Barbara



شکل ۳: تصویر اصلی نهان‌نگاره

کارایی روش‌های نهان‌نگاری، با اندازه گیری توانایی ادراک‌ناپذیری و مقاومت آن‌ها بررسی می‌شود. برای ادراک‌ناپذیری، شاخص کمی PSNR برای ارزیابی تفاوت بین تصویر اصلی I و تصویر نهان‌نگاری شده I' به کار می‌رود که تعریف آن به صورت زیر می‌باشد:

$$PSNR = 10 \times \log \frac{255^2 \times M \times N}{\sum_{x=0}^{M-1} \sum_{y=0}^{N-1} [I'(x, y) - I(x, y)]^2} \quad (18)$$

که I' تصویر اصلی، I تصویر نهان‌نگاری شده و M و N ابعاد تصویر دیجیتال می‌باشند. همچنین $(I(x, y), I'(x, y))$ مقدار پیکسل تصویر اصلی و تصویر نهان‌نگاری شده را مشخص می‌نمایند.

مقدار PSNR بالاتر برای I و I' به این معنا است که یک روش نهان‌نگاری توانایی شفافیت بالاتری دارد. برای مقاومت، نرخ خطای بیتی^۷، تفاوت بین نهان‌نگاره اولیه W و نهان‌نگاره استخراج شده W' را اندازه‌گیری می‌کند.

$$BER = \frac{B}{M \times N} \quad (19)$$

B تعداد بیت‌هایی است که به اشتباه تشخیص داده شده‌اند و M و N ابعاد تصویر نهان‌نگاری شده می‌باشند.

بنابراین، بدیهی است که PSNR بالاتر، به معنای ادراک‌ناپذیری بهتر می‌باشد. همچنین اگر روشی BER کمتری داشته باشد، آن روش مقاوم‌تر است.

در ادامه نتایج اجرای هر دو روش را به طور کامل مورد مطالعه قرار می‌دهیم و تعدادی از حملات را در هر دو روش بر روی هر یک از سه تصویر نهان‌نگاری شده اعمال کرده و نهان‌نگاره را استخراج می‌کنیم و مقادیر مربوط به BER را برای هر یک از تصاویر نهان‌نگاره استخراج شده به دست می‌آوریم.

۱-۴ نتایج تست برای ادراک‌ناپذیری

براساس پارامترهای فوق‌الذکر، ما الگوریتم تعیه نهان‌نگاره را در هر دو روش بر روی تصاویر تست اجرا نمودیم. در روش اول نسخه‌های نهان‌نگاری شده‌ی تصویر Lena با PSNR=۴۰/۱۸، Barbara با PSNR=۴۳/۱۵، Mandrill با PSNR=۴۰/۱۵ به دست می‌آید. در روش دوم نسخه‌های نهان‌نگاری شده‌ی تصویر Lena با PSNR=۴۴/۲۳، Barbara با PSNR=۴۴/۰۷، Mandrill با PSNR=۴۱/۵۴ به دست می‌آید.

۲-۴ نتایج تست برای مقاومت

به منظور بررسی مقاومت روش‌های ارائه شده، ابتدا هر یک تصویر نهان‌نگاری شده توسط فشرده‌سازی JPEG، فیلتر میانگین، نویز نمک و فلفل، و چرخش تصویر مورد حمله قرار می‌گیرند. سپس، ما فرآیند استخراج نهان‌نگاره را اجرا کرده و خروجی BER آنها را محاسبه می‌نماییم. نتایج در جدول ۱ و ۲ نشان داده شده است.

جدول ۱: اعمال حملات مختلف بر روی تصاویر نهان‌نگاری شدهی Lena و Mandrill و Barbara در روش اول

نهان‌نگاره استخراج شده از تصویر (BER)	نهان‌نگاره استخراج شده از تصویر (BER)	نهان‌نگاره استخراج شده از تصویر (BER)	حملات
۰/۱۱۸۸	۰/۱۲۳۷	۰/۱۱۴۰	(QF=80) JPEG
۰/۱۱۹۸	۰/۱۲۷۱	۰/۱۱۳۲	(QF=50) JPEG
۰/۱۲۴۰	۰/۱۶۱۲	۰/۱۱۰۲	فیلتر میانه
۰/۱۳۰۲	۰/۱۳۵۶	۰/۱۲۰۹	فیلتر میانگین
۰/۱۱۰۷	۰/۱۲۳۸	۰/۱۰۹۱	نویز فلفل و نمک (٪۲)

۰/۱۰۱۶	۰/۰۹۴۱	۰/۰۹۷۸	چرخش ۹۰
۰/۱۱۹۳	۰/۱۲۳۰	۰/۱۱۲۴	چرخش ۲۷۰

جدول ۲: اعمال حملات مختلف بر روی تصاویر نهان‌نگاری شده‌ی Lena و Mandrill و Barbara در روش دوم

نهان‌نگاره استخراج شده از Barbara تصویر (BER)	نهان‌نگاره استخراج شده از Mandrill تصویر (BER)	نهان‌نگاره استخراج شده از Lena تصویر (BER)	حملات
۰/۱۱۰۶	۰/۱۲۸۰	۰/۱۰۱۹	(QF=80) JPEG
۰/۱۱۵۶	۰/۱۰۷۲	۰/۱۰۰۵	(QF=50) JPEG
۰/۱۱۹۳	۰/۱۳۷۸	۰/۱۰۴۹	فیلتر میانه
۰/۱۱۰۱	۰/۱۲۶۹	۰/۰۹۸۴	فیلتر میانگین
۰/۰۹۸۶	۰/۱۰۹۵	۰/۰۹۳۸	نویز فلفل و نمک (٪۲)
۰/۰۹۸۱	۰/۰۹۳۰	۰/۰۹۱۶	چرخش ۹۰
۰/۱۱۶۶	۰/۱۲۰۶	۰/۱۱۴۳	چرخش ۲۷۰

۵- نتیجه‌گیری

در این مقاله دو روش نهان‌نگاری تصاویر دیجیتال را با هم مقایسه نمودیم. به طور کلی در هر دو روش، آموزش LS-SVM و SVM زمان بر است که این از معایب هر دو روش محسوب می‌گردد. همانطور که قبل از این گفته شد، روشی بهتر است که PSNR بالاتر و BER کمتری داشته باشد. در روش دوم PSNR بالاتری برای تصاویر نهان‌نگاری شده به دست آمد که حاکی از ادراک ناپذیری خوب این روش است. همچنین پس از اعمال حملات مختلف بر روی تصاویر نهان‌نگاری شده، نرخ خطای بیتی کمتری در روش دوم به دست آمد که نشان دهنده مقاومت بیشتر این روش در برابر حملات مختلف می‌باشد.

مراجع

- [1] Ingemar. J.Cox, Matthew. L.Miller, Jeffrey. A.Bloom, Jessica. F and Ton. K, Digital watermarking and Steganography. 2nd Ed., The Morgan Kaufmann Series in Multimedia Information and Systems, 2008.
- [2] Tsai. H-H and Sun. D-W, Color image watermark extraction based on support vector machines, Information Sciences, Vol. 177, 550–569, 2007.
- [3] Tsai. H-H, Jhuang. Y-J, Lai. Y-Sh, An SVD-based image watermarking in wavelet domain using SVR and PSO, Applied Soft Comuting Vol. 12, No. 8, 2442-2453, 2012.
- [4] Tsai. H-H, Tseng. H-C and Lai. Y-S, Robust lossless image watermarking based on α -trimmed mean algorithm and support vector machine, journal of Systems and Software, Vol. 83, No. 6, 1015-1028, 2010.
- [5] Wang. X-Y, Wang. Ch-P, Yang H-Y and Niu. P-P, A robust blind color image watermarking in quaternion Fourier transform domain, Journal of Systems and Software, Vol. 86, No. 2, 255-277, 2013.
- [6] Abe. Sh, Support Vector Machines for Pattern Classification. 2nd Ed., Advanced in Pattern Recognition, 2012.

- [7] Wang. X-Y, Yang. H-Y and Cui Ch-Y, An SVM-based robust digital image watermarking against desynchronization attacks, *Signal Processing*, Vol. 88, No. 9, 2193–2205, 2008.
- [8] Hongze. S, *Contemporary Digital Image Processing*, Electronic and Industry Publishing Company, 2006.
- [9] Contronei. M, Montefuscon. L.B and Puccio. L, Multiwavelet analysis and signal processing, *IEEE Transactions on Circuits and Systems II: Analog and Digital Signal Processing*, Vol. 45, No. 8, 970–987, 1998.
- [10] Strela. V, Heller. P.N, Strang. G, Topiwala. P and Heil. C, The application of multiwavelet filterbanks to image processing, *IEEE Transactions on Image Processing*, Vol. 8, No. 4, 548–562, 1999.
- [11] Suykens. J.A.K and Vandewall. J, Least Squares Support Vector Machine Classifiers, *Neural Processing Letters* 9, 293-3000, 1999.

زیرنویس‌ها

Digital Watermarking
Least Square Support Vector Machine
Multiwavelet Domain
Feature Vector
Target Image
Peak Signal to Noise Ratio
Bit Error Rate